

# les boussoles

par M. Karim Kaabeche, M. Aurélien Gonzales, M. Erwan Ruaud, élèves de TS du lycée Georges Braque d'Argenteuil (95), établissement jumelé avec le lycée Fragonard de l'Isle-Adam (95)

enseignante :  
Mme Joëlle Richard

chercheur :  
M. Stéphane Labbé

coordination article : Gonzales Aurélien

compte-rendu de parrainage :

*Le sujet auquel ils se sont intéressés était assez intéressant (!). Mais la difficulté des formules rendait l'exposé un peu rude à suivre. Malgré tout, les résultats sont fort probants. Peut-être qu'ils auraient pu aller plus loin ...*

## An — Boussoles dans un champ magnétique. 30

Comment vont se comporter des boussoles placées en réseau sous l'influence d'un aimant ?

Lorsqu'on étudie le comportement de matières fluides formées de particules ayant des propriétés électriques et/ou magnétiques (par exemple des électrons), l'interaction des particules entre elles rend difficile la simulation et la prévision ; les mathématiques permettent d'y voir (un peu) plus clair.

*Intéressés par la physique et l'aspect pratique des mathématiques, nous avons donc choisi ce sujet, qui illustre la passerelle entre ces deux sciences : les mathématiques ont ici servi à démontrer les propriétés physiques observées sur des boussoles.*

Notre **sujet** est le suivant :

Des boussoles sont placées sur une plaque, qu'elles soient ou non soumises à un champ magnétique extérieur, elles bougeront les unes par rapport aux autres pour s'immobiliser dans une position d'équilibre.

La loi que suivent les boussoles est la suivante : toujours être dirigées comme le champ magnétique régnant en un point donné.

### **Quelques définitions et notations :** **« Ne perdons pas le Nord ».**

(Toutes les boussoles sont numérotées et désignées par leur indice.)

Le champ magnétique est de la forme :

$$\vec{B} = \mu_0 \vec{H}_{\text{ext}} + \vec{B}_{\text{dipolaire}}$$

$$\vec{B}_{\text{dipolaire}} = \frac{\mu_0}{4\pi} \sum_{i \neq j} \frac{3 \vec{M}_j \cdot \vec{r}_{ij}}{r_{ij}^5} \vec{r}_{ij} - \frac{\vec{M}_j}{r_{ij}^3} \quad (\text{I})$$

(sur la boussole  $i$ )

[NDLR : Cette expression vient d'un calcul effectué préalablement par les physiciens pour exprimer la valeur du champ magnétique créé par un « dipôle magnétique », dipôle auquel peut être assimilée une boussole.]

avec les définitions suivantes :

$\vec{M}_j$  = moment magnétique de la boussole  $j$ .

$\vec{r}_{ij}$  = vecteur dont les extrémités sont les centres des deux boussoles  $i$  et  $j$ .

$r_{ij}$  = distance des centres des deux boussoles  $i$  et  $j$ .

$\mu_0$  = constante universelle

**Qu'est-ce que le moment magnétique ?**

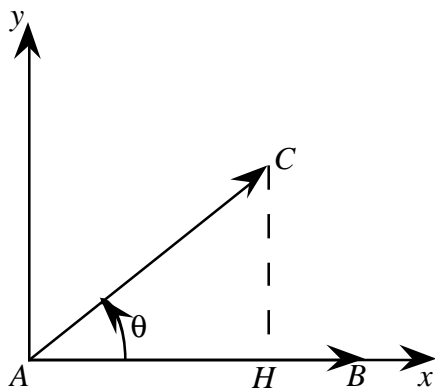
$$\vec{M}_j = m \vec{m}_j$$

$m$  = module d'aimantation

$\vec{m}_j$  = vecteur représentant la boussole  $j$  (voir figure 2.1)

**Qu'est-ce qu'un produit scalaire ?**

$\vec{M}_j \cdot \vec{r}_{ij}$  est un produit scalaire, c'est-à-dire un nombre réel. Prenons :  $\vec{M}_j = \vec{AC}$



$$\vec{r}_{ij} = \vec{AB}$$

Les deux vecteurs forment un angle "θ" ; pour H le projeté orthogonal de C sur (AB) :

$$\vec{AC} \cdot \vec{AB} = AB \times AH = AB \times AC \cos(\theta).$$

**Projection d'un vecteur sur des axes.**

Figure 1.1

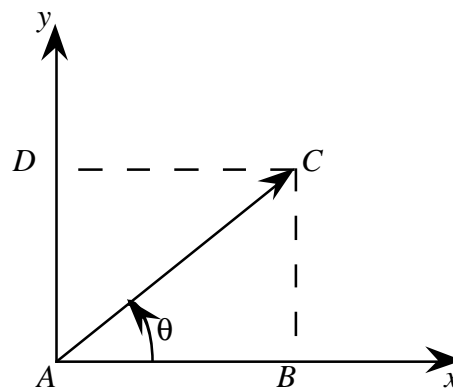


Figure 1.2

Le vecteur  $\vec{AC}$  a donc des coordonnées suivant les axes (Ox) et (Oy) :

$$\vec{AC} : x = AB, y = AD$$

Définition de la tangente d'un angle θ

$$\tan \theta = \frac{\sin \theta}{\cos \theta}$$

avec

$$\begin{aligned} \sin \theta &= \frac{AC}{AB} \\ \cos \theta &= \frac{AB}{BC} \end{aligned}$$

donc

$$\tan \theta = \frac{AC}{AB}$$

[NDLR : Ceci n'a de sens bien défini que si  $AB \neq 0$  (ou  $\cos \theta \neq 0$ , ou  $\theta \notin \pi/2[\pi]$ ).]

**Cas de deux boussoles.**

Commençons par étudier le cas de deux boussoles. Chaque boussole “i” crée un champ magnétique  $\vec{B}_{ij}$  qui agit sur la boussole “j”

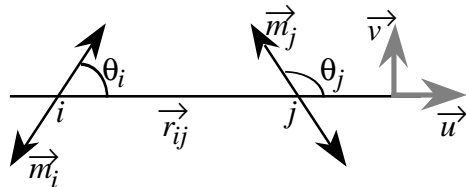


Figure 2.1

$$\vec{B}_{ij} = k \vec{m}_i \Leftrightarrow \begin{cases} [1] \frac{\mu_0 m}{4\pi r_{ij}^3} 2 \cos\theta_j = k \cos\theta_i \\ [2] \frac{\mu_0 m}{4\pi r_{ij}^3} (-\sin\theta_j) = k \sin\theta_i \end{cases}$$

$$\vec{B}_{ji} = k' \vec{m}_j \Leftrightarrow \begin{cases} [3] \frac{\mu_0 m}{4\pi r_{ij}^3} 2 \cos\theta_i = k' \cos\theta_j \\ [4] \frac{\mu_0 m}{4\pi r_{ij}^3} (-\sin\theta_i) = k' \sin\theta_j \end{cases}$$

En divisant les deux membres de l'égalité [2] par ceux de l'égalité [1], nous obtenons :

Après simplification, la formule (I) devient :

$$\vec{B}_{ij} = \frac{\mu_0 m}{4\pi r_{ij}^3} (3 \cos\theta_j \vec{u} - \vec{m}_j)$$

$$-\frac{\tan\theta_j}{2} = \tan\theta_i$$

En effet :

[NDLR : ... à condition toutefois que les membres de l'équation [1] ne soient pas nuls.]

$$\begin{aligned} \vec{B}_{ij} &= \frac{\mu_0}{4\pi} \left( \frac{3 \vec{M}_j \cdot \vec{r}_{ij}}{r_{ij}^5} \vec{r}_{ij} - \frac{\vec{M}_j}{r_{ij}^3} \right) \\ &= \frac{\mu_0}{4\pi} \left( \frac{3 \vec{M}_j \cdot r_{ij} \vec{u}}{r_{ij}^5} r_{ij} \vec{u} - m \vec{m}_j \right) \end{aligned}$$

De même avec les égalités [4] et [3], ce qui nous donne :

$$-\frac{\tan\theta_i}{2} = \tan\theta_j$$

Or  $\vec{M}_j \cdot \vec{u} = m \cos\theta_j$

$$\vec{B}_{ij} = \frac{\mu_0 m}{4\pi r_{ij}^3} (3 \cos\theta_j \vec{u} - \vec{m}_j)$$

donc

$$\begin{aligned} -\frac{\tan\theta_j}{2} &= \tan\theta_j \\ \tan\theta_j &= 0 \\ \theta_j &\equiv 0 [\pi] \end{aligned}$$

Projetons le vecteur  $\vec{B}_{ij}$  dans la base  $(\vec{u}; \vec{v})$  ; les coordonnées sont alors :

de même :

$$\vec{B}_{ij} : \begin{cases} B_x = \frac{\mu_0 m}{4\pi r_{ij}^3} (2 \cos\theta_j) \\ B_y = \frac{\mu_0 m}{4\pi r_{ij}^3} (\sin\theta_j) \end{cases}$$

$$\begin{aligned} -\frac{\tan\theta_i}{2} &= \tan\theta_i \\ \tan\theta_i &= 0 \\ \theta_i &\equiv 0 [\pi] \end{aligned}$$

La condition d'équilibre des deux boussoles se traduit par le système :

On montre ainsi que les angles fournis par les deux boussoles sont égaux et nuls : les boussoles sont alignées.

$$\begin{cases} \vec{B}_{ij} = k \vec{m}_i \\ \vec{B}_{ji} = k' \vec{m}_j \end{cases}$$

[NDLR : Une autre solution existe peut-être, correspondant au cas où  $\cos\theta_j = \cos\theta_i = 0$ .]  
[NDLC : ne perdons pas le nord, qu'i' disaient, mais il est où le nord pour ces boussoles ?]

**Cas de trois boussoles.**

Etudions maintenant le cas de trois boussoles.

Hypothèse : on place les centres de trois boussoles aux sommets d'un triangle équilatéral. Appelons les boussoles 1, 2, 3.

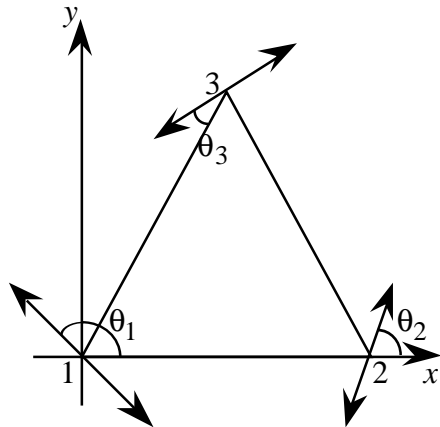


Figure 3.1

$$\vec{B}_{12} = \frac{\mu_0}{4\pi} \left( \frac{3 \vec{u}_{12} m \cos \theta_2}{r^3} - \frac{\vec{m}_2}{r^3} \right)$$

$$\vec{B}_{13} = \frac{\mu_0}{4\pi} \left( \frac{3 \vec{u}_{13} m \cos \theta_3}{r^3} - \frac{\vec{m}_3}{r^3} \right)$$

$$\vec{m}_2 = m_2 \cos \theta_2 \vec{i} + m_2 \sin \theta_2 \vec{j}$$

$$\vec{m}_3 = m_3 \cos \left( \frac{\pi}{3} - \theta_3 \right) \vec{i} + m_3 \sin \left( \frac{\pi}{3} - \theta_3 \right) \vec{j}$$

A l'équilibre : le vecteur  $\vec{B}$  sur  $\vec{I}$  doit être colinéaire au vecteur champ magnétique.

$$\vec{B}_{12} + \vec{B}_{13} = K \vec{m}_1$$

Projetons sur les axes :

$$\vec{B} \text{ sur } \vec{i} = K \vec{m}_1$$

$\Leftrightarrow$

$$\left[ \begin{array}{l} [5] \frac{\mu_0 m}{4\pi r^3} \left( 2 \cos \theta_3 + \frac{3}{2} \cos \theta_3 - \cos \left( \frac{\pi}{3} - \theta_3 \right) \right) \\ = Km \cos \theta_1 \end{array} \right.$$

$$\left[ \begin{array}{l} [6] \frac{\mu_0 m}{4\pi r^3} \left( -\sin \theta_2 + \frac{3\sqrt{3}}{2} \cos \theta_3 - \sin \left( \frac{\pi}{3} - \theta_3 \right) \right) \\ = Km \sin \theta_1 \end{array} \right.$$

Pour obtenir  $\tan \theta_1$  divisons [6] par [5] :

$$[7] \tan \theta_1 = \frac{-\sin \theta_2 + \frac{3\sqrt{3}}{2} \cos \theta_3 - \sin \left( \frac{\pi}{3} - \theta_3 \right)}{2 \cos \theta_3 + \frac{3}{2} \cos \theta_3 - \cos \left( \frac{\pi}{3} - \theta_3 \right)}$$

Un triangle équilatéral a trois axes de symétrie ; par raison de symétrie, les boussoles ne peuvent donc avoir que deux positions d'équilibre. Elles sont ...

... soit confondues avec les axes :

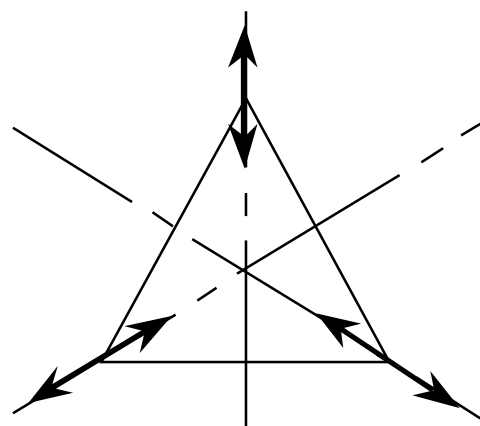


Figure 3.2

$$\begin{aligned} \theta_1 &= \pi/6 \\ \theta_2 &= 5\pi/6 \\ \theta_3 &= \pi/2 \end{aligned}$$

... soit perpendiculaires aux axes :

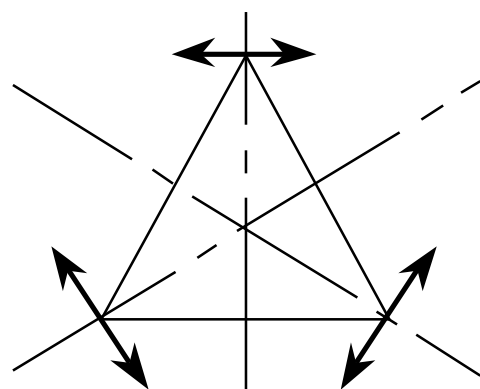


Figure 3.3

$$\begin{aligned} \theta_1 &= 2\pi/3 \\ \theta_2 &= 2\pi/3 \\ \theta_3 &= \pi/3 \end{aligned}$$

Nous avons remplacé les angles par leur valeur dans l'égalité [7]. Cette égalité [7] a été vérifiée lorsque les boussoles étaient perpendiculaires aux hauteurs donc, la position d'équilibre est la position de la figure 3.3.

**Généralisation.**

Nous avons vu le cas avec trois boussoles qui, lorsque nous les plaçons sur les sommets d'un triangle équilatéral, apparaissent dans la configuration d'équilibre des axes de symétrie correspondant à ceux de ce triangle. Et, grâce aux formules, nous avons obtenu le résultat suivant, à l'équilibre : les boussoles se disposent tangentiellement au cercle circonscrit à ce triangle qui est un polygone régulier de trois côtés.

Par conséquent, nous pensons pouvoir généraliser ce résultat de la façon suivante au cas de " $n$ " boussoles :

Si on place  $n$  boussoles sur les sommets d'un polygone régulier de  $n$  côtés, alors, à l'équilibre, les boussoles seront dirigées tangentiellement au cercle circonscrit à ce polygone.

**Conclusion.**

Nous avons donc réussi à déterminer la position d'équilibre pour le cas de deux boussoles, puis pour le cas de trois boussoles et nous avons fini par conjecturer un résultat pour " $n$ " boussoles posées aux sommets d'un polygone régulier.

Par conséquent, il faudrait arriver à démontrer la généralisation, peut-être à l'aide d'une [démonstration par] récurrence.

De plus, il reste à aborder la question du champ magnétique extérieur.

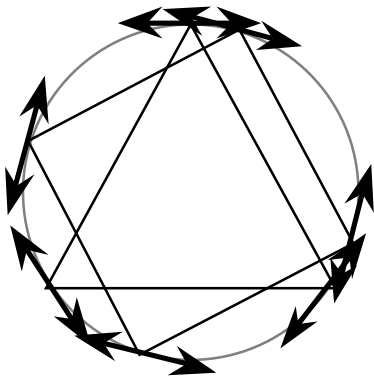


Figure 4.1